

УДК 532.5.013.4:536.25

© 2001 г. А.В. ГОРЕЛИКОВ, П.Т. ЗУБКОВ, Д.А. МОРГУН

## ЧИСЛЕННОЕ ИССЛЕДОВАНИЕ КОНВЕКЦИИ ВОДЫ В БЛИЗИ ЭКСТРЕМУМА ПЛОТНОСТИ В КВАДРАТНОЙ ПОЛОСТИ С ДВИЖУЩЕЙСЯ ВЕРХНЕЙ СТЕНКОЙ

В широком диапазоне значений числа Грасгофа проведено численное исследование смешанной конвекции холодной воды в квадратной полости с движущейся верхней границей. Исследовалась эволюция стационарных решений при изменении скорости движения верхней стенки.

В настоящее время существует большое количество работ, посвященных изучению смешанной конвекции. Например, в работах [1, 2] проводились исследования жидкостей, у которых зависимость плотности от температуры линейна. Однако существует ряд жидкостей с нелинейной зависимостью плотности от температуры. Примером такой жидкости является вода, которая имеет максимум плотности вблизи 4°C. Многочисленные исследования (например, [3–6]) показывают, что эффект инверсии плотности значительно усложняет структуру конвективных течений и в некоторых случаях приводит к тому, что становится возможным существование нескольких стационарных решений при одних и тех же граничных условиях.

Таким образом, представляет интерес исследование смешанной конвекции в жидкости с экстремумом плотности.

В данной работе представлены результаты численного исследования смешанной конвекции холодной воды в квадратной полости с движущейся верхней стенкой. Разностный аналог уравнений гидродинамики получен с помощью метода контрольных объемов. Для решения системы уравнений используется алгоритм SIMPLER [7]. Стационарные решения получены методом установления.

Проведенная предварительно проверка на численную сходимость (сравнивались сетки  $39 \times 39$  и  $91 \times 91$ ) показала, что сетки  $39 \times 39$  вполне достаточно для качественного анализа данной задачи. Сравнение результатов тестовых расчетов с данными работы [1] показывает хорошее качественное и количественное совпадение (в частности, средние безразмерные тепловые потоки различались не более чем на 0,5%).

**1. Постановка задачи.** Рассматривается стационарная смешанная конвекция холодной воды в квадратной ячейке при движущейся верхней стенке. Вертикальные стенки ячейки теплоизолированы, верхняя и нижняя стены поддерживаются при постоянных температурах  $T_1 = T_m - T_0$  и  $T_2 = T_m + T_0$  соответственно ( $T_m = 4,0293^\circ\text{C}$ ,  $|T_0| \leq T_m$ ).

Предполагалось, что: жидкость несжимаема и ее течение двумерно и ламинарно; теплофизические свойства постоянны; справедливо приближение, подобное приближению Буссинеска, но зависимость плотности от температуры нелинейная; пренебрежимо малы изменения температуры, обусловленные выделением тепла, связанным с диссиляцией энергии путем внутреннего трения. В качестве уравнения состояния использовалось соотношение

$$\rho = \rho_m(1 - \beta|T - T_m|^b), \quad \beta = 9,297173 \cdot 10^{-6}(\text{°C})^{-b}, \quad b = 1,894816,$$

$$\rho_m = 999,972 \cdot \text{kg/m}^3$$

где  $\rho_m$  есть максимум плотности при температуре  $T_m$  [5].

С учетом сделанных допущений система уравнений, моделирующая смешанную конвекцию в холодной воде, в безразмерных переменных имеет вид

$$\frac{DU}{D\tau} = -\nabla P + \Delta U + \text{Gr} |\Theta|^b \mathbf{e}_g; \quad \nabla U = 0; \quad \frac{D\Theta}{D\tau} = \frac{1}{\text{Pr}} \Delta \Theta$$

$$\text{Gr} = g\beta L^3 \frac{(T_2 - T_1)}{v^2}, \quad \text{Pr} = \frac{v}{\alpha}, \quad \mathbf{e}_g = (0, 1)$$

$$X = \frac{x}{L}, \quad U = \frac{uL}{v}, \quad \tau = \frac{tv}{L^2}, \quad \Theta = \frac{T - T_m}{T_2 - T_1}, \quad P = \frac{(p + \rho_m g LY)L^2}{\rho_m v^2}$$

Здесь  $X, Y$  – безразмерные прямоугольные координаты,  $U, V$  – горизонтальная и вертикальная компоненты вектора скорости,  $P$  – конвективная составляющая давления,  $\tau$  – безразмерное время,  $\Theta$  – температура,  $L$  – сторона полости,  $v$  – кинематическая вязкость,  $\text{Gr}$  – число Грасгофа,  $\text{Pr}$  – число Прандтля,  $\alpha$  – коэффициент температуропроводности.

Безразмерные граничные условия имеют вид

$$X = 0; \quad X = 1: \quad U = V = 0, \quad \frac{\partial \Theta}{\partial X} = 0$$

$$Y = 0: \quad U = V = 0, \quad \Theta = 0,5$$

$$Y = 1: \quad U = \text{Re}, \quad V = 0, \quad \Theta = -0,5$$

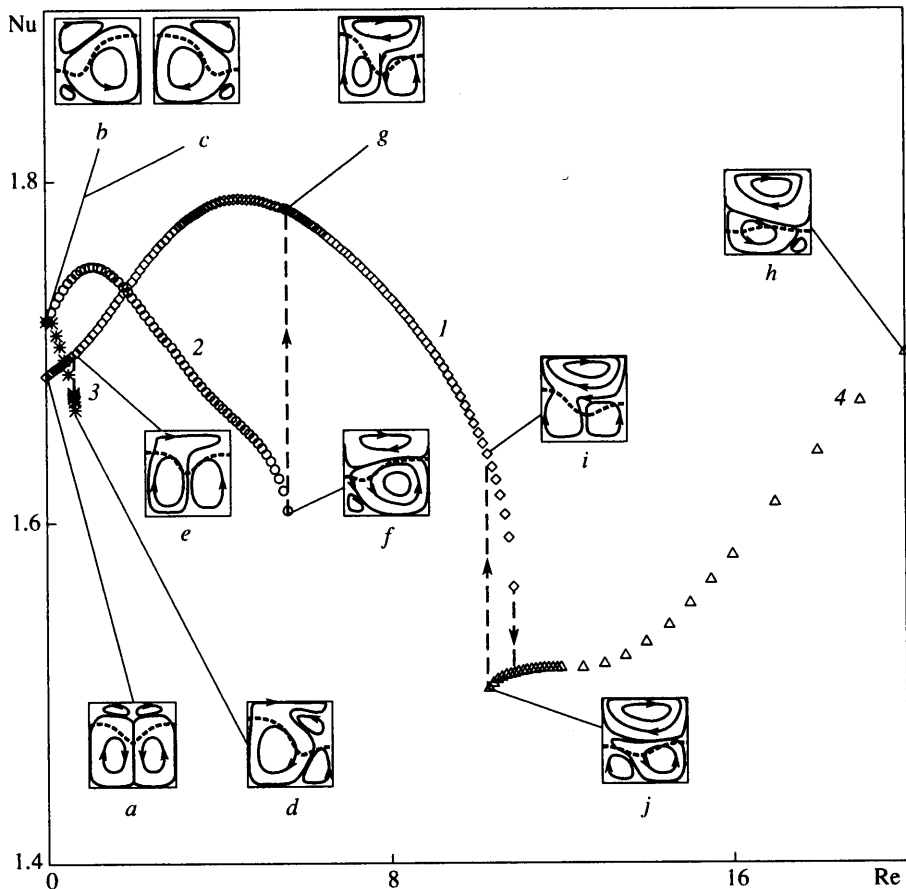
Здесь  $\text{Re}$  – число Рейнольдса. Среднее число Нуссельта в стационарном состоянии определяется соотношением

$$\text{Nu} = - \int_0^1 \left( \frac{\partial \Theta}{\partial Y} \right)_{Y=i} dX \quad (i = 0 \text{ или } 1)$$

**2. Анализ результатов.** В представленной работе была проведена серия численных экспериментов для  $\text{Gr} = 3,5 \cdot 10^3, 4 \cdot 10^3, 4,5 \cdot 10^3, 5 \cdot 10^3, 5,5 \cdot 10^3, 10^4, 1,5 \cdot 10^4, 2 \cdot 10^4, 3 \cdot 10^4$ , в которых исследовалось влияние скорости движения верхней границы ( $0 \leq \text{Re} \leq 300$ ) на структуру стационарных смешанно-конвективных течений и теплообмен в холодной воде при фиксированном значении числа Прандтля ( $\text{Pr} = 11,59$ ).

Для чисел Грасгофа  $3,5 \cdot 10^3 \leq \text{Gr} \leq 5,5 \cdot 10^3$  в случае только естественной конвекции ( $\text{Re} = 0$ ) возможно существование четырех различных типов стационарных решений [6]. Тип стационарного решения зависит от начальных условий, в частности от начального распределения температуры. Пронумеруем типы решений следующим образом:  $0 - \Theta_0 = 0; 1 - \Theta_0 = -0,5; 2 - \Theta_0 = X - 0,5; 3 - \Theta_0 = 0,5 - X$ . В настоящей работе эти четыре типа стационарных решений используются в качестве начальных условий для первых численных экспериментов. Далее при увеличении числа Рейнольдса в качестве начальных условий берутся стационарные решения, полученные для предыдущего (меньшего) значения числа Рейнольдса. Решение 0-го типа неустойчиво и при движущейся стенке сразу же переходит на решение, соответствующее 3-му типу начального условия.

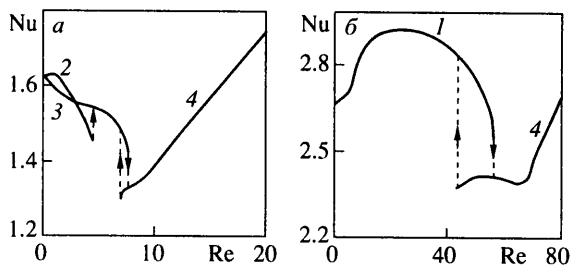
На фиг. 1 показана зависимость среднего числа Нуссельта  $\text{Nu}$  в стационарном состоянии от  $\text{Re}$  для  $\text{Gr} = 5 \cdot 10^3$  (при  $\text{Gr} = 4,5 \cdot 10^3, 5,5 \cdot 10^3$  зависимость имеет тот же характер). В случае  $\text{Gr} = 4,5 \cdot 10^3, 5 \cdot 10^3, 5,5 \cdot 10^3$  при естественной конвекции устойчивыми являются три типа стационарных решений [6] (см. схематичные картины течений  $a, b, c$  на фиг. 1 в точке  $\text{Re} = 0$ ). В соответствии с результатами расчетов для данных чисел Грасгофа при небольших значениях  $\text{Re}$  каждому типу начальных условий соответствует свое стационарное решение (ветви 1–3 на фиг. 1), т.е. начальные условия при  $\text{Re} = 0$  непрерывным образом трансформируются в ста-



Фиг. 1. Зависимость  $\text{Nu}(\text{Re})$  для  $\text{Gr} = 5 \cdot 10^3$ . Кривые 1–3 соответствуют стационарным решениям первого, второго и третьего типов (схемы  $a, b, c$ ) при  $\text{Re} = 0$ . Приведены схематичные изображения функции тока (схемы  $a$ – $j$ ), на которые штриховой линией нанесена изотерма, соответствующая экстремуму плотности

ционарные решения при  $\text{Re} > 0$ . Тепловой поток, соответствующий стационарным решениям ветви 3, падает по мере увеличения числа Рейнольдса (фиг. 1); это связано с тем, что движение в верхней грани ячейки происходит в сторону, противоположную первоначальному (при  $\text{Re} = 0$ ) направлению движения жидкости у верхней границы. Далее, по мере увеличения значения  $\text{Re}$  стационарные решения ветви 3 становятся неустойчивыми и скачком переходят на ветвь 1 (схемы  $d, e$  на фиг. 1).

Тепловые потоки, соответствующие стационарным решениям ветвей 1, 2, до определенных значений числа Рейнольдса растут. Это обусловлено интенсификацией течений в верхней части полости, где распределение температуры относительно "устойчиво" ( $\Theta < 0$ ). Дальнейшее увеличение значения  $\text{Re}$  приводит к тому, что течение в верхнем вихре становится более интенсивным и размеры вихря увеличиваются. Как следствие уменьшаются вертикальные размеры области с "неустойчивым" распределением температуры ( $\Theta > 0$ ), т.е. изотерма  $\Theta = 0$ , соответствующая экстремуму плотности, опускается. Это влечет за собой уменьшение интенсивности течений в нижней части полости, основным механизмом которых является естественная конвекция. Рассмотренный выше процесс приводит к тому, что в определенном диапазоне  $\text{Re}$  поток тепла, протекающего через ячейку, уменьшается (фиг. 1).



Фиг. 2. Зависимость  $\text{Nu}(\text{Re})$  для  $\text{Gr} = 4 \cdot 10^3$  (а) и  $\text{Gr} = 1.5 \cdot 10^4$  (б)

При дальнейшем увеличении значения числа Рейнольдса стационарные решения ветви 2 становятся неустойчивыми и скачком переходят на ветвь 1 (схемы *f*, *g* на фиг. 1). При еще большем увеличении  $\text{Re}$  решения ветви 1 также становятся неустойчивыми и "падают" на ветвь 4. Структура решений, соответствующих ветви 4 (схема *h* на фиг. 1), подобна структуре решений ветви 2, т.е. один основной вихрь в нижней "неустойчивой" области и один вихрь в верхней "устойчивой" области ячейки. На ветви 4 основными механизмами переноса тепла становятся вынужденная конвекция в верхней части полости и теплопроводность в нижней части; естественная конвекция делается все менее интенсивной по мере увеличения числа Рейнольдса. Как следствие этого тепловой поток возрастает при увеличении значения числа Рейнольдса.

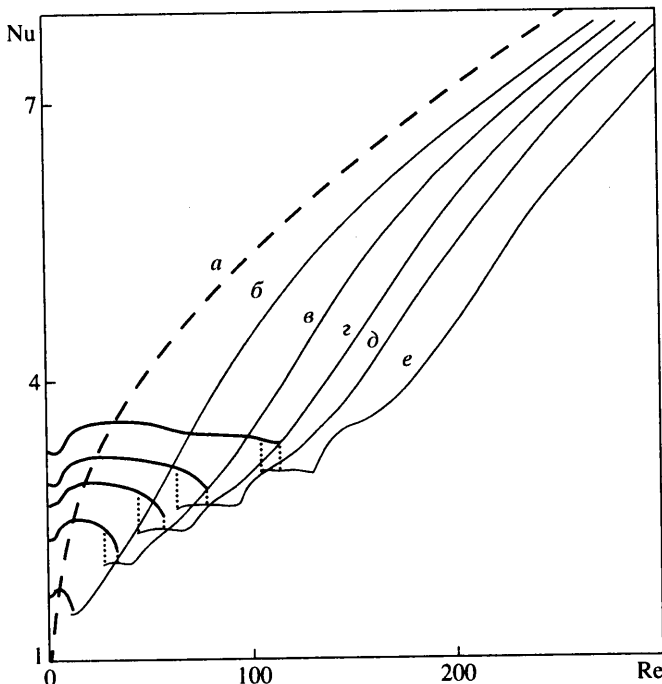
Во всех рассмотренных выше численных экспериментах в качестве начального приближения бралось стационарное решение, полученное для предыдущего (меньшего) значения числа Рейнольдса ("прямой ход"). В определенном интервале значений числа Рейнольдса (например:  $10.3 < \text{Re} < 10.9$  для  $\text{Gr} = 5 \cdot 10^3$ ) альтернативный тип стационарного решения удалось получить, поступая наоборот, т.е. в качестве начального приближения бралось стационарное решение, полученное для большего значения числа Рейнольдса ("обратный ход"). Таким образом, имеет место своеобразный гистерезис (фиг. 1, область разрывов ветвей 1 и 4, схемы *i*, *j*).

При  $\text{Gr} = 3.5 \cdot 10^3, 4 \cdot 10^3$  в случае естественной конвекции, устойчивыми являются только второй и третий типы стационарных решений, которые и были взяты в качестве начальных условий для первых численных экспериментов. На фиг. 2, а представлены зависимости  $\text{Nu}(\text{Re})$  для  $\text{Gr} = 4 \cdot 10^3$  (для  $\text{Gr} = 3.5 \cdot 10^3$  зависимость имеет тот же характер). В данном случае взаимодействие естественной и смешанной конвекции также приводит к тому, что зависимость  $\text{Nu}(\text{Re})$  для каждой ветви имеет сложный, немонотонный характер и также существует область гистерезиса.

Более простая ситуация возникает при  $\text{Gr} = 10^4, 1.5 \cdot 10^4, 2 \cdot 10^4, 3 \cdot 10^4$ . В данном случае изначально, т.е. при  $\text{Re} = 0$ , существует лишь один устойчивый тип стационарного решения – 1-й. Зависимость  $\text{Nu}(\text{Re})$  при  $\text{Gr} = 1.5 \cdot 10^4$  представлена на фиг. 2, б. Следует отметить, что гистерезис и в данном случае имеет место.

Сопоставив результаты вычислений для различных значений чисел  $\text{Gr}$  и  $\text{Re}$ , можно сделать несколько общих замечаний.

В случае чисто вынужденной конвекции ( $\text{Gr} = 0$ ) (фиг. 3) зависимость  $\text{Nu}(\text{Re})$  монотонно возрастает. Для последовательности чисел  $\text{Gr}$ , рассматриваемой в данной работе, зависимость  $\text{Nu}(\text{Gr})$  в случае естественной конвекции ( $\text{Re} = 0$ ) также монотонно возрастает. Однако в случае смешанной конвекции зависимость  $\text{Nu}(\text{Re})$  существенно немонотонна, т.е. существуют ярко выраженные максимумы и минимумы (фиг. 3). Таким образом, в некоторых случаях увеличение  $\text{Re}$  приводит к снижению среднего теплового потока через ячейку. В частности, при  $\text{Gr} = 2 \cdot 10^4$  и  $\text{Re} = 63.0$  средний тепловой поток через ячейку уменьшается на 8,95% по сравнению с естественной конвекцией при том же  $\text{Gr}$ .



Фиг. 3. Эволюция зависимости  $\text{Nu}(\text{Re})$  с увеличением числа Грасгофа. Приведены кривые типа 1 (жирные линии) и 4 (тонкие линии) для  $\text{Gr}: 0$  (а),  $5 \cdot 10^3$  (б),  $10^4$  (в),  $1,5 \cdot 10^4$  (г),  $2 \cdot 10^4$  (д),  $3 \cdot 10^4$  (е). Область гистерезиса обозначена пунктирными линиями

Зависимость  $\text{Nu}(\text{Re})$  для различных значений  $\text{Gr}$  в некотором смысле подобна. Объяснить это можно следующим образом. С увеличением  $\text{Gr}$  увеличивается влияние естественной конвекции и, как следствие этого, режим преобладающего действия вынужденной конвекции наступает при более высоких значениях  $\text{Re}$ , что приводит к растяжению кривой 1 (фиг. 3, жирные линии). Смещение кривых  $\text{Nu}(\text{Re})$  вверх по оси  $\text{Nu}$  объясняется тем, что для рассмотренной последовательности  $\text{Gr}$  зависимость  $\text{Nu}(\text{Gr})$  при  $\text{Re} = 0$  возрастающая.

**Заключение.** В диапазоне чисел Грасгофа ( $3,5 \cdot 10^3 \leq \text{Gr} \leq 4 \cdot 10^4$ ) и Рейнольдса ( $0 \leq \text{Re} \leq 300$ ) получены стационарные решения задачи о смешанной конвекции воды вблизи точки экстремума плотности в квадратной ячейке с движущейся верхней границей. Задачи смешанной конвекции холодной воды обладают более богатым и сложным набором стационарных решений по сравнению с аналогичными задачами естественной и вынужденной конвекций. Взаимное влияние естественной и вынужденной конвекций может приводить как к уменьшению, так и к увеличению среднего теплового потока через ячейку. Для каждого числа  $\text{Gr}$  существуют скорости  $\text{Re}$ , при которых наблюдаются локальные экстремумы теплового потока. Установлено, что в рассмотренной задаче в определенных интервалах значений числа  $\text{Re}$  существуют области гистерезиса стационарных решений.

В полости, заполненной водой вблизи точки инверсии плотности, существуют две области – с устойчивым и неустойчивым распределением температуры. В рассмотренной задаче это приводит к тому, что при одних и тех же граничных условиях существуют различные по своей структуре стационарные решения и имеет место явление гистерезиса. В жидкостях с монотонной зависимостью  $\rho(T)$  ситуация в рамках данной задачи несколько проще и более предсказуема. Расчеты показывают, что

ветвление стационарных решений если и наблюдается, то при небольших  $Re$  (например,  $Re < 2$  для  $Gr = 2,5 \cdot 10^3$ ). С увеличением  $Re$  остается лишь один тип стационарного решения (один основной вихрь с центром в середине ячейки), при этом зависимость  $Nu(Re)$  монотонно возрастающая.

В трехмерной постановке структура решений многих задач конвекции радикально изменяется по сравнению с двумерной постановкой [8]. Возможно, это отчасти справедливо и для представленной задачи (в случае, когда влияние вынужденной конвекции незначительно). В том случае, когда влияние вынужденной конвекции достаточно велико, структура течения, по всей видимости, будет квазидвумерной и, следовательно, эффекты, обнаруженные в данной работе, возможно, будут присутствовать и в трехмерном случае. Естественно, сказанное выше – лишь предположение, и вопрос о стационарных решениях задачи о конвекции в трехмерной полости с движущейся верхней границей требует дополнительного исследования.

## СПИСОК ЛИТЕРАТУРЫ

1. *Moallemi M.K., Jang K.S.* Prandtl number effects on laminar mixed convection heat transfer in a lid-driven cavity // Intern. J. Heat Mass Transfer. 1992. V. 35. № 8. P. 1881–1892.
2. *Iwatsu R., Hyun J.M.* Three-dimensional driven-cavity flows with a vertical temperature gradient // Intern. J. Heat Mass Transfer. 1995. V. 38. № 18. P. 3319–3328.
3. *Wei Tong, Koster J.N.* Density inversion effect on transient natural convection in a rectangular enclosure // Intern. J. Heat Mass Transfer. 1994. V. 37. № 6. P. 927–938.
4. *Ho C.J., Chiou S.P., Hu C.S.* Heat transfer characteristics of a rectangular natural circulation loop containing water near its density extreme // Intern. J. Heat Mass Transfer. 1997. V. 40. № 15. P. 3553–3558.
5. *Gebhart B., Mollendorf J.* A new density relation for pure and saline water // Deep-Sea Res. 1977. V. 24. № 9. P. 831–848.
6. Зубков П.Т., Климин В.Г. Численное исследование естественной конвекции чистой воды вблизи точки инверсии плотности // Изв. РАН. МЖГ. 1999. № 4. С. 171–176.
7. Патанкар С. Численные методы задач теплообмена и динамики жидкости. М.: Энергоатомиздат, 1984. 150 с.
8. Родионов С.П. Естественная конвекция воды в нагреваемой снизу замкнутой трехмерной прямоугольной полости вблизи точки инверсии плотности // Тр. 2-й Рос. нац. конф. по теплообмену. М.: МЭИ, 1998. Т. 3. С. 136–140.

Сургут

Поступила в редакцию  
10.IV.2000